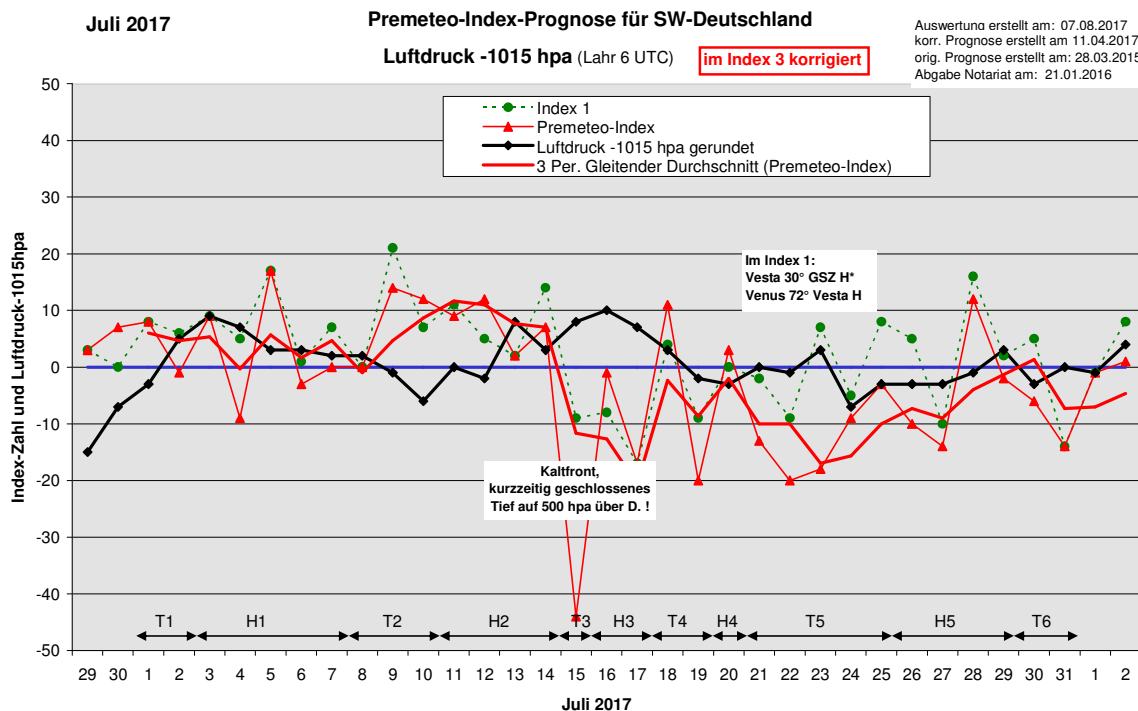
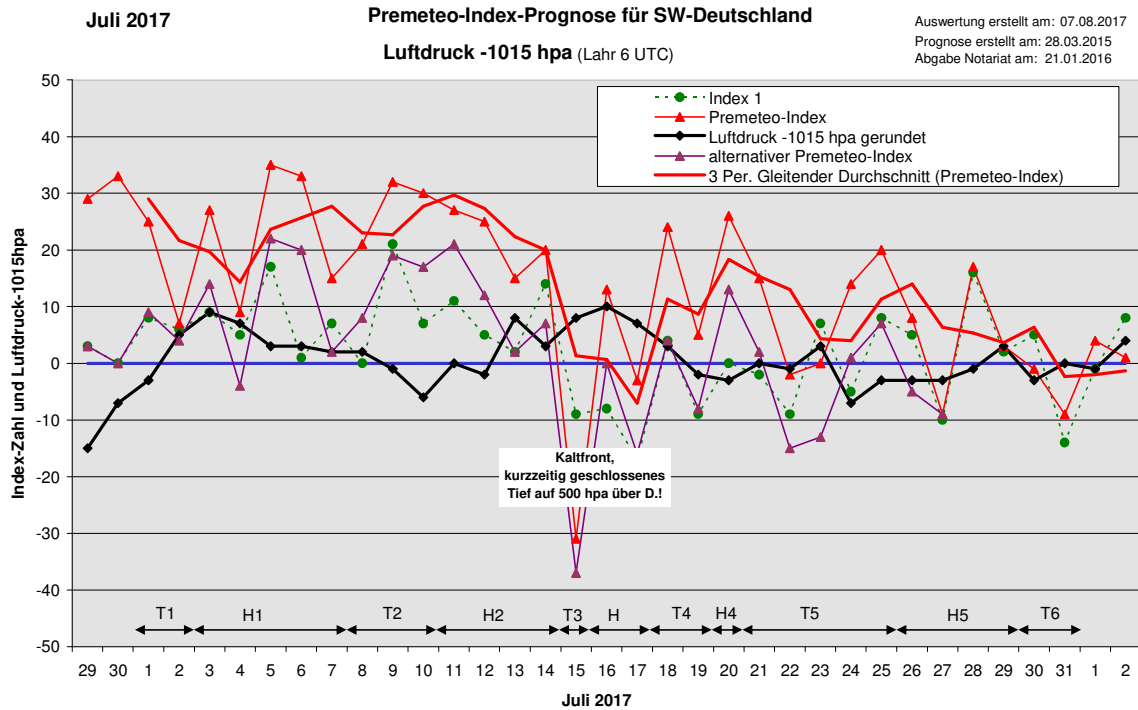


## Wetterlagenverlauf Juli 2017 im Vergleich zur Premeteo-Indexprognose für Südwest-Deutschland

(Im Diagramm sind über der Datumsachse die real eingetreten Hoch- und Tiefdruckphasen durch Doppelpfeile eingetragen. Ausschlaggebend für die Evaluation ist der tägliche Premeteo-Index, in der dünneren, roten Linie mit Dreieckspunkten dargestellt. Ein negativer Premeteo-Index zeigt die Wahrscheinlichkeit für eine zyklonale Tiefdruckströmung, ein positiver Premeteo-Index die Wahrscheinlichkeit für eine antizyklonale Hochdruckströmung an.

Die Wetterlagenbeschreibungen wurden anhand der Berliner Wetterkarten erstellt. Ausschlaggebend ist die Europa-Bodenkarte um 0 UTC, die feiner skalierte 12 UTC-Karte von Mitteleuropa wird nur bei einem Wetterlagenwechsel für die Einordnung des Tages hinzugezogen. Am Ende des Dokuments befinden sich die Tabellen und Konstellationen, die dem Diagramm zugrunde liegen.)



**Zusammenfassung:** Die unkorrigierte und die im Index 3 korrigierte Prognose des Juli 2017 wiesen einen großen Unterschied auf. Die unkorrigierte Prognose versprach mit einem Premeteo-Index, der nur an 5 Tagen negative Werte enthielt, einen eher trockenen, heißen Juli, während der korrigierte Premeteo-Index mit 17 Tagen im negativen Bereich einen nassen Juli erwarten ließ. Mit 15 real zyklonalen Tagen und überdurchschnittlich starken Regenmengen nicht nur im Südwesten, sondern in ganz Deutschland, zeigte sich erneut, dass die Korrektur des Index 3, deren Notwendigkeit im Januar dieses Jahres entdeckt wurde, tatsächlich die bessere Übereinstimmung mit dem realen Wetterlauf gewährleistete. In der Realität stimmten die negativen und positiven Tage des korrigierten Index nicht exakt mit den zyklonalen und antizyklonalen Tagen überein, sondern sie waren teilweise (an 10 Tagen) gegeneinander verschoben. Doch war der Gesamtcharakter des Juli gut prognostiziert und es gab nur 4 Tage, an denen die Symbolprognose als völlig falsch eingestuft werden musste.

Die heißesten Tage traten um den 6. und mit dem 18./19. Juli auf und waren von erfahrungsgemäß wärme-typischen Aspekten begleitet: Sonne 60° Neptun, Venus 120° Makemake/GSZ (6./7.), Venus 120° Jupiter (18./19.).

Die kältesten Tage am 1. und 24./25. wiesen ebenfalls kälte-typische Aspekte auf wie Venus 90° Mondknoten (1.), sowie Venus 180° Saturn und Ceres 180° Juno.

Luftdruckmaxima wurden am 4. und am 16. erreicht. Am 4. fällt die Häufung von drei Oppositionen auf: Mars 180° Pluto A, Sonne 180° Juno A und Ceres 180° GSZ. Am 16. die Häufung von drei Merkur-Aspekten: Merkur 120° Apogäum T, Merkur 45° Makemake/GSZ T/H.

Das Luftdruckminimum der Tiefdruckphase 2 vom 8. bis 10. Juli wurde gegen die Regeln des Premeteo-Index erreicht, wogegen sich die Tiefdruckphase 5 vom 21. bis 25. Juli ganz innerhalb der Prognoseregeln vollzog. Dabei kam es zu einem kurzzeitigen Minimum am Abend des 21. und brachte in Durbach-Hespengrund ein ungewöhnlich starkes Gewitter, bei dem in etwa 20 Minuten eine Niederschlagsmenge von 38 Litern fiel (Sonne 150° Quaoar T und 0° Varuna T). Das im Auswertungsdiagramm sichtbare Minimum des 24. ging einher mit Ceres 72° Eris T\* und Merkur 120° Uranus T.

### **Beschreibung der einzelnen Wetterphasen:**

**Tiefdruckphase 1:** Am 1. Juli setzte sich das Tiefdrucksystem Rasmund mit drei Kernen über Nordfrankreich, dem Baltikum und Westrussland erneut nach Süden durch und brachte reichlich Niederschlag. Es bestimmte auch am 2. noch die Wetterlage. Der im Index 3 korrigierte Premeteo-Index bewegte sich um die Nulllinie und stimmte mit der Wetterlage besser überein als der unkorrigierte. Der starke Höhentrog, der seit dem 28. Juni die Strömung über Europa bestimmte, verlagerte sich nun nach Osten. Der Premeteo-Index summierte über die 2-tägige Tiefdruckphase auf +32 / korr. +7.

**Hochdruckphase 1:** Am 3. setzte sich von der Biskaya Hoch Francoise mit seinem Isobarenbereich über ganz Deutschland durch. Sein Kern verlagerte sich bis zum 5. zum Balkan, wo es auch am 6. verharrte und weiterhin - bei großer Hitze – seinen Einfluss auf unsere Region ausübte. Am 7. kehrte sein Kern noch mal zurück nach Westen bis über die Westalpen. Die 5-tägige Hochdruckphase summierte auf +119 / korr. +14. Die Auswertungsdiagramme zeigen, dass der korrigierte Premeteo-Index sehr viel besser an die real aufgetretene Luftdruckkurve angepasst war als der unkorrigierte Index. Dennoch hatte der korrigierte Index bezüglich des Vorzeichens zwei Fehlprognosestage und der unkorrigierte Index keine. Die Trendlinie des korr. Index verlief dagegen immer flach oberhalb der Nulllinie, was mit dem Charakter der schwül-gewittrigen Hochdruckwetterlage recht gut übereinstimmte. Der heißeste Tag dieser Phase war mit Sonne 120° Neptun W am 6., als der Premeteo-Index einen Wert von -3 hatte.

**Tiefdruckphase 2:** Am 8. überwog der zyklonale Einfluss von Tief Uwe über Norddeutschland. Tief Uwe zog weiter zur Ostsee, während über Westdeutschland am 9. eine flache, kleine Tiefdruckzelle entstand, innerhalb deren aufgeheizter Atmosphäre sich Gewitter und Niederschläge bildeten. An diesem Tag wurden im Index1 die beiden

Asteroiden-Aspekte Ceres 180° Quaoar H\* und Vesta 0° aufsteigender Mondknoten H\* exakt, die wegen der Verdoppelungsregel bei 0° und 180° mit jeweils +10 Punkten angerechnet worden waren und dadurch selbst den korrigierten Premeteo-Index zu hoch in den positiven Bereich ansteigen ließen. Die Atmosphäre war durch die große Wärme im mittleren Luftdruckbereich stark labilisiert und die H\*-Aspekte fanden keinerlei Abdruck in ihrem Strömungsverhalten. Im negativen Bereich lag jedoch der Index 2 mit der Symmetrie Orcus 45° Mars Haumea A T\* A -7. Der Verlauf des Luftdrucks zeigte über den Tag mit mehreren kleinen Wellentälern und -bergen eine auffallend instabile Struktur. Am 10. lag Tief Wolf über Nordost-Frankreich und bestimmte das Wetter über unserer Region weiterhin mit lokal kräftigen Gewittern und Niederschlägen. Der Luftdruck erreichte erst jetzt das Minimum der Tiefdruckphase. Die konvektive Dynamik der sehr warmen Luftmasse hatte die kosmischen Impulse völlig überformt. Der Premeteo-Index summierte über die 3-tägige Tiefdruckphase auf +83 / korr. +26.

**Hochdruckphase 2:** Am 11. bildeten die Isobaren bis zum Mittag einen schmalen, flachen Keil bis über Südwestdeutschland, doch war die Atmosphäre durch das okkludierte Tief über der Nordsee noch labilisiert. Dieser Tag war ein Grenzfall, doch baute sich der Keil zum 12. mit einem Kern über den Alpen weiter aus. Dabei kam es noch zu anhaltenden Niederschlägen. Am 13. wurde Hoch Hanna über dem Ärmelkanal wetterwirksam und erreichte mit seinem Zentrum am 14. die Slowakei. Der Premeteo-Index summierte über die 4-tägige Hochdruckphase auf +87 / korr. +30.

**Tiefdruckphase 3:** Bei einem Premeteo-Index von -31/ -44 vertiefte sich die zyklonale Strömung auf 500 hpa über der Region deutlich. In der Berliner Wetterkarte wurde ausdrücklich in der Übersicht des 16. Juli rückblickend erwähnt, „dass der Höhentrog gestern früh kurzzeitig ein abgeschlossenes Höhentief über Deutschland aufwies“. Das war ungewöhnlich. In der Bodenkarte zeigte sich dagegen nur eine flache Tiefdruckrinne mit einer Höhenokklusion, die die Außenisobare des Azorenhochs leicht einbeulte und nach Süden über Südwestdeutschland in eine Kaltfront übergang. Nach der Bodenkarte war der Tag ein Grenzfall, doch zeigte die starke Bewölkung und die Vertiefung der Höhenströmung, dass die Zyklonalität an diesem Tag insgesamt überwog.

**Hochdruckphase 3:** Hoch Hanna verlagerte vom 15. zum 16. seinen Kern in einer retrograden Bewegung von Westpolen nach Süddeutschland und am 17. über die Alpen. Der korrigierte Index verlief an den ersten beiden Tagen im negativen Bereich. Eine Häufung von drei Venus-Impulsaspekten wurde in Kombination mit Orcus 45° Haumea T\* auffällig und könnte auf eine Impulsumkehrung hinweisen. Andererseits gab es diesen steilen Anstieg des Premeteo-Index vom 15. zum 16., sowie vom 17. zum 18., dessen Spitze am 18. mit dem Luftdruckmaximum nach dem Zustrom der Kaltluft übereinstimmte. Der Premeteo-Index summierte auf +10 / korr. -18.

**Tiefdruckphase 4:** Der negative Premeteo-Index von -3 / korr. -17 am Vortag machte sich am 18. dann doch mit einer flachen zyklonalen Strömung über der Biskaya bemerkbar, die die Isobare von Hoch Irmingard über der Nordsee schon deutlich zum Tiefdruckbereich nahe unserer Region krümmte. Das Wetter entsprach jedoch noch ganz dem Premeteo-Index von +24 / korr. +11 des 18. Der Luftdruck fiel zum 19. weiter ab und an beiden Tagen stieg am Nachmittag die Temperatur auf über 30° C an. Der Premeteo-Index summierte auf +29 / korr. -9.

**Hochdruckphase 4:** Am 20. lag die Region um 0 UTC im Isobarenbereich von Tief Zlatan südlich Islands. Doch zeigte die Mittagskarte bereits eine flache antizyklonale Strömung über unserem Gebiet, die sich bis um 0 UTC des 21. als schmaler Hochdruckkeil des Azorenhochs entwickelte. Der Premeteo-Index hatte einen Wert von +26 / korr. +3. (Die Symbolprognose des 20. war in der Prognosedatei fälschlicherweise mit der Symbolziffer 2 eingetragen und wurde in der Auswertungsdatei entsprechend der Prognoseregeln auf Ziffer 3 berichtigt und grün hinterlegt.)

**Tiefdruckphase 5:** Tief Zlatan dominierte mit verschiedenen Kernen vom Atlantik über Großbritannien, Nordsee und Norddeutschland vom 21. bis 23. das Wettergeschehen bis in unsere Region mit starken Gewittern und Regenfällen. Am 24. zog Tief Alfred von Frankreich heran und setzte das unbeständige Wetter mit vielen Niederschlägen bis zum 26. fort. Der Kern eines geschlossenen Höhentiefs auf 500 hpa über Großbritannien bewegte sich vom

21. bis zum 26. langsam bis nach Deutschland und sorgte mit seinem Kältezentrum für eine kräftige Abkühlung der Atmosphäre bis in die Bodenschichten und für lokal katastrophale Niederschlägen nördlich unserer Region in Deutschland. Der im Index 3 korrigierte Premeteo-Index verlief während der ganzen Phase entsprechend im negativen Bereich, während der unkorrigierte Premeteo-Index zu hoch lag und nun eine Reihe von Fehlprognosetagen zu verzeichnen hatte. Der Premeteo-Index summierte über die 5-tägige Tiefdruckphase auf +47 / korr. -63.

**Hochdruckphase 5:** Um 0 UTC des 26. lag Südwestdeutschland noch im Isobarenbereich von Tief Alfred über Nordostdeutschland, doch bildete sich bis Mittag eine flache, antizyklonale Strömung aus. Auf 500 hpa verlagerte sich am 27. ein Höhenkeil nach Deutschland. Der korrigierte Premeteo-Index verlief im negativen Bereich und das Wetter hatte mit seiner dichten Bewölkung und den lokal starken Schauern weiterhin den zyklonalen Charakter der letzten Tage. (Am 26. war im korrigierten Index 3 der Aspekt Mars 72° Jupiter versehentlich nicht berechnet worden. Dies wurde in den Auswertungstabellen berichtigt und grün hinterlegt.) Erst im Laufe des 28., als der korrigierte Premeteo-Index auch einen positiven Wert von +12 hatte, begann die Atmosphäre sich zu stabilisieren und die Niederschlagsneigung ging am 29. bei bis Mittag weiter leicht steigenden Luftdruck zurück. Der Premeteo-Index summierte über die 4-tägige flach antizyklonale Lage auf +19 / korr. -14., wobei der korrigierte, negative Premeteo-Index insgesamt besser als der unkorrigierte mit dem labilen, Wetter und seinen zum Teil kräftigen Regenfällen übereinstimmte.

**Tiefdruckphase 6:** Der Luftdruck fiel zum 30. ab und ein lokal heftig wütendes Gewittertief überquerte von Frankreich kommend die Region. Am 31. lag Südwestdeutschland noch knapp im Einflussbereich von Tief Bernhard bei Schottland. Die Bewölkung wechselte zwischen Verdichtung mit leichtem Regen und Auflockerungen mit schweißtreibender, schwül-feuchter Atmosphäre. Der Premeteo-Index summierte über die beiden letzten Tage des Monats auf -10 / korr. -20.

SW-D befand sich an 16 Tagen im Einflussbereich antizyklonaler Strömung. Die Summe des prognostizierten Premeteo-Index für diese Tage ergab +261 / korr. +15. Dies entsprach einer Indexzahl von +16,31 / korr. +0,94 pro Tag.

An 15 Tagen befand sich SW-D im Einflussbereich zyklonaler Strömung. Die Summe des prognostizierten Premeteo-Index für diese Tage ergab +150 / korr. -83. Dies entsprach einer Indexzahl von +10,00 / korr. -5,53 pro Tag.

Die Prognose durch die Premeteo-Wettersymbole war an 7 / korr. 4 Tagen falsch (am 1., 9., 10., 11., 12., 24., 25. / korr. am 9., 10., 12., 17. ), an 10 / korr. 11 Tagen richtig und an 14 / korr. 16 Tagen tendenziell richtig.

Zu den Tabellen und Fehlprognosen



**07.08.2017** **Im Index 3 korrigiert**

**Juli 2017** **Prognose für SW-Deutschland**

**01.07.2017** **Die roten Aspekte im Index 3 wurden nicht eingerechnet, da der Partnerplanet einen geringeren Rang hat als der Konjunktionsplanet.**

Den ganzen Monat verläuft Makemake im Konjunktionsbereich mit dem Supergalaktischen Zentrum GSZ. Dadurch wird bis zum 26. Juli 2017 im Index 3 der Mondknoten Aspekt Kn2 144\* GSZ aktiviert, dessen Wirksamkeit in dieser Dauerauflösung fragwürdig sein könnte. Daher wird er im alternativen Premeteo-Index nicht angerechnet. Dies wird vor allem für die zweite Monatshälfte bedeutsam, wo der alternative Index dann an 7 Tagen in negativen Bereich verläuft, der Premeteo-Index jedoch nur an 3 Tagen.  
 Vom 8. bis zum 11. befindet sich Vesta in Konjunktion mit dem aufsteigenden Mondknoten. Vom 19. bis 21. befindet sich Mars in Konjunktion mit Varuna. Am 22. und 23. ist die Sonne mit Varuna in Konjunktion und ab dem 24. mit Mars. Das besondere dieser Konjunktions ist, dass die Bewegungsgeschwindigkeit beider Himmelskörper im Verhältnis zur Erde sich nur wenig unterscheidet, so dass diese Konjunktion zwischen Sonne und Mars 7 Tage lang bis zum 30. andauert.

Langsamläufer-Impulse	H*		H*, Tf*, H*	H*	T*		H*		2H*			
Schnellläufer-Impulse	T, 3H	T	2H	3H, Hf	2H	2H, T	2T, H		H	2H, T		
Temperaturimpulse	K?, W, K				K	W, K	W			W		
Premeteo-Index - zyklonal, + antizyklonal (Index 1+2+3)	8	-1	9	-9	17	-3	0	0	14	12		
Pre.IX (ALTERNATIV)												
Index 1 (12 - 12 UTC) exakte Aspekte des Tages	8	6	9	5	17	1	7	0	21	7		
Index 1 (ALTERNATIV)												
Symmetrien (0 - 0 UTC)	Sat 120 Ves Eri (20) A* T* A* -7 Orc 45 Hau Mer (22) T* A* -7 Cer 3ep Sat Qua (23) A* H* ---	Mer 89 Eri Hau (11) A A* ? --- Ven 29 Ura Cer (15) A H* A* +7 Ura 29 Ven Chi (15) A H* (8/3) A --- Mer 6 Mar Var (20) T -7?	Plu 7op Son Mer (08) H A K +7? Ves 120 Sat Eri (11) A* A* ? --- Ves 145 Plu Chi (14) A* H* ? ? ---	Mar 7 Son Mer (02) T W T -7? Ven 60 Chi Var (06) A H* H* --- Qua 150 Ven Var (11) A* T* H-14 GaZ 150 Sed Mer (16) ? A A?		Ura 4 Pal Eri (20) A* A? (2/1) ?		Son 4op Plu Jun (00) H A +7? Eri 121 Sat Ves (02) T* A* A*-7 Cer 10p Qua GaZ (05) H* H* +14 Chi 89 Qua Cer (09)? A* H* --- Orc 37 Jup Mer (09) H --- Jup 73 GaZ Mer (21) A* H A ---	Plu 3op Son Mar (01) H A +7 Mer 60 Ven Mak (05) A W A H --- Mer 60 Ven GSZ (08) A W T T -7	Orc 45 Mar Hau (18) A T* A* -7	Jup 75 Var Qua (09) Tst* --- Var 7 Mar Mer (14) H A +7? Son 74 Pal Mak (21) H* ---	Mar 89 Eri Hau (02) A A ? ? Son 74 Pal GSZ (02) H* --- Qua 75 Jup Nep (10) T* ---
Index 2 (12 - 12 UTC)	0	-7	0	-14	0	7	-7	0	-7	0		
Index 2 ALTERNATIV												
ausgelöste Aspekte (= durch Konjunktionen aktivierte Aspekte)	Mer 72 GSZ H1 Apo 72 GSZ H13 Kn2 144 GSZ H13 Nep 72 Sed T*(0,5/2) -100 Sed 150 GaZ ?*	Pal 150 GSZ H5 Kn2 144 GSZ H13 Nep 72 Sed T*(0,5/2) -100 Sed 150 GaZ ?*	Pal 150 GSZ H5 Kn2 144 GSZ H13	Pal 150 GSZ H5 Kn2 144 GSZ H13	Pal 150 GSZ H5 Kn2 144 GSZ H13	Pal 150 GSZ H5 Kn2 144 GSZ H13	Pal 150 GSZ H5 Kn2 144 GSZ H13	Pal 150 GSZ H5 Kn2 144 GSZ H13 Var 150 Qua T-11 Mer 60 GSZ T-1 Ven 120 GSZ T-2 Pal 150 GSZ H5 Kn2 144 GSZ H13	Mer 60 GSZ T-1 Ven 120 GSZ T-2 Pal 150 GSZ H5 Kn2 144 GSZ H13	Ven 120 GSZ T-2 Pal 150 GSZ H5 Kn2 144 GSZ H13	Ves 180 Kn2 H5 Kn2 144 GSZ H13	Ves 120 GaZ H5 Ves 180 Kn2 H5 Kn2 144 GSZ H13
Index 3 (Summe)	0	0	0	0	0	-11	0	0	0	5		
Index 3 ALTERNATIV												
Symbol-Prognose	3	3	3	3	3	3	3	3	2	2		
Symbol-Prognose altern.	3	3	3	3	3	3	3	3	2	2		
Woche/nat	Sa	So	Mo	Di	Mi	Do	Fr	Sa	So	Mo		
Datum	1	2	3	4	5	6	7	8	9	10		
reale Wetterlage	T1: 2T - H*, 3H / +7			H1: H*, 3H*, Hf, 10H - Tf*, T*, 3T / +14			T2: T - 2H*, 3H / +26					
Luftdruck (hpa) 06 UTC	1012,5	1019,5	1024,4	1022,1	1018,1	1018,1	1016,5	1016,8	1014	1009,5		
mittl. Temp.(°C)	16,4	16,7	19,9	21,7	23,2	25,9	25,5	25,3	22,6	20,8		
Sonnenscheindauer (h)	0,1	1	10,6	13,5	13,7	13,8	7,8	8	1,9			
Niederschlag (Liter)	3,8 / 2	0,2 / 11	0 / 7	0	0	0	2,9 / 4	3,6 / 8	1,1 / 5	19,9 / 23		
Bodenwetterlage 00 UTC (Kernlage des Druckgebiets, das SW-D beeinflusst)	T ü N-F	T ü Balti, Azor-H	H ü Biskaya	H ü F	H ü O-Balk, T bei NW-Iber	H ü SO-Balk, T ü Bisk	H ü Alpen, T ü Nsee	kl T ü N-D	fl, kl T-Zelle ü W-D	T ü NO-F		
Bodenströmung 12 UTC zyklonal (z), antizyklonal (a)	a	a-z	fl a	a	a	fl z	z	fl z	a-z	z		
Strömung auf 500 hpa 00 UTC	W z	N a-z	WNW fl a	NW fl a	W a-z	WNW a-z	W a-z	W fl a	W a-z	SW fl z		
zutreffende Wettersymbole	5 hr	5 hr	2-3 r	2 hr	2 hr	2 hr	3 r	2-3 r	3-5 f	5 f		

Übertrag **03:29** **00:51** **05:20** **03:15** **00:52** **00:48** **01:50** **00:32** **00:06** **04:36**  
 Index 1: +7 **MER 144 KN2** **MER 45 ORC** **SON 45 SED** **MER 30 KN1** **MER 90 URA** **SON 120 NEP** **MER 60 FY9** **SON 150 APO** **CER 180 QUA** **SON 180 PLU**  
 Index 2: 0 **KRE 20\*38\*07** **KRE 22\*24\*17** **KRE 11\*29\*02** **KRE 26\*28\*14** **KRE 28\*10\*51** **KRE 14\*09\*49** **KRE 18\*03\*33** **KRE 16\*03\*33** **KRE 18\*07\*37**  
**WAS 26\*38\*09\*** **JUN 07\*24\*18** **STI 26\*29\*01\*** **LÖW 26\*28\*39\*** **WID 28\*10\*51\*** **FIS 14\*09\*48\*** **WAA 01\*56\*17\*** **SCH 16\*03\*34\*** **STI 29\*22\*40\*** **H+ 18\*07\*38\***  
**A** **H+3** **A** **A** **H+1** **A W** **A** **A** **H\***

**10:26** **01:54** **06:20** **03:26** **02:54** **02:45** **02:26** **05:04** **00:20** **06:21**  
**VES 60 EL6** **CER 30 SED** **SON 45 KN1** **MER 60 SED** **PLU 144 VES** **SON 90 JUP** **VEN 120 GSZ** **VEN 144 JUN** **MER 144 QUA** **MER 30 ORC**  
**LÖW 22\*38\*21\*** **ZWI 26\*28\*21\*** **KRE 11\*31\*25\*** **KRE 26\*29\*33\*** **STE 18\*15\*06\*** **KRE 14\*14\*27\*** **ZWI 02\*17\*59\*** **ZWI 03\*31\*27\*** **LÖW 05\*22\*39\*** **LÖW 07\*31\*50\***  
**WAA 22\*38\*21\*** **WAA 26\*28\*20\*** **LÖW 26\*31\*25\*** **STI 26\*29\*34\*** **WID 24\*15\*06\*** **WAA 14\*14\*28\*** **WAA 02\*18\*01\*** **WAA 02\*18\*01\*** **SCH 29\*22\*40\*** **JUN 07\*31\*52\***  
**A\*** **A\*** **H+6** **A** **A\*** **A K** **T-2** **A** **H+1** **H+1**

**10:31** **03:41** **07:23** **04:30** **04:23** **05:07** **06:39** **07:15** **03:19** **07:26**  
**VEN 135 JUN** **MER 90 EL6** **VEN 30 URA** **VEN 135 JUP** **JUP 150 NEP** **URA 60 CER** **MER 60 GSZ** **MAR 144 APO** **MAR 90 EL6** **VES 90 SED**  
**STI 26\*06\*14\*** **KRE 22\*38\*15\*** **STI 29\*06\*02\*** **WAA 14\*10\*19\*** **WAA 14\*10\*19\*** **WID 28\*12\*28\*** **WAA 02\*18\*01\*** **KRE 22\*05\*26\*** **KRE 22\*38\*02\*** **LÖW 26\*33\*01\***  
**STE 11\*06\*13\*** **WAA 22\*38\*15\*** **WID 26\*08\*23\*** **WAA 14\*06\*01\*** **H ---** **T\*-6** **ZWI 28\*12\*28\*** **WAA 02\*18\*01\*** **SCH 16\*05\*26\*** **WAA 22\*38\*01\*** **STI 26\*33\*01\***  
**A** **A** **A** **A** **A** **A** **A** **A** **A** **A**

**11:52** **06:06** **07:33** **04:49** **09:33** **11:59** **07:04** **22:44** **10:10** **09:34**  
**MER 144 APO** **VEN 150 GaZ** **CER 180 GaZ** **VES 120 ERI** **MER 120 CHI** **MER 135 APO** **MER 72 JUP** **MAR 45 ORC** **MAR 150 SAT** **MER 135 SAT**  
**KRE 21\*19\*57\*** **STI 26\*59\*28\*** **ZWI 26\*59\*29\*** **LÖW 23\*50\*51\*** **KRE 28\*51\*28\*** **LÖW 00\*53\*23\*** **LÖW 02\*19\*54\*** **KRE 22\*03\*35\*** **KRE 22\*49\*09\*** **LÖW 07\*31\*52\***  
**SCH 15\*19\*56\*** **STI 26\*59\*28\*** **SCH 26\*59\*28\*** **WID 23\*50\*51\*** **FIS 28\*51\*28\*** **SCH 15\*53\*23\*** **WAA 14\*19\*55\*** **JUN 07\*30\*35\*** **SCH 22\*49\*10\*** **SCH 22\*45\*29\***  
**T-1** **A** **H\*+11** **A\*** **A** **H+1** **H ---** **A** **A** **A W?**

**12:44** **07:41** **09:51** **09:44** **12:20** **14:13** **11:39** **12:12** **14:35**  
**VEN 72 NEP** **CER 60 KN1** **VAR 150 QUA** **MER 150 GaZ** **MER 144 SAT** **VES 135 JUN** **GSZ 144 KN2** **VES 0 KN1** **MER 144 NEP**  
**STI 26\*12\*15\*** **LÖW 26\*34\*25\*** **KRE 29\*29\*00\*** **KRE 26\*59\*30\*** **KRE 29\*04\*24\*** **LÖW 24\*54\*01\*** **WAA 02\*18\*01\*** **LÖW 26\*11\*35\*** **LÖW 08\*06\*43\***  
**FIS 14\*12\*16\*** **ZWI 26\*34\*25\*** **SCH 29\*29\*00\*** **SCH 26\*59\*28\*** **SCH 23\*04\*23\*** **STE 09\*54\*01\*** **WAS 26\*18\*01\*** **LÖW 26\*11\*35\*** **FIS 14\*06\*42\***  
**A K?** **A W\*** **Tf\* -11** **A** **H+1** **A\*** **H\*(12,5/1) +13** **H\* +10** **T W ---**

**14:05** **08:37** **15:09** **12:26** **13:10** **16:26** **13:20** **14:45** **20:54**  
**VEN 30 CER** **MER 30 VES** **PAL 150 FY9** **VEN 150 QUA** **MAR 72 GSZ** **SON 72 PAL** **MER 60 VEN** **CER 30 VAR** **MER 72 SED**  
**STI 26\*15\*55\*** **KRE 23\*02\*30\*** **STI 01\*54\*52\*** **STI 29\*27\*45\*** **KRE 20\*18\*00\*** **KRE 14\*70\*4\*** **LÖW 02\*48\*03\*** **ZWI 29\*38\*01\*** **LÖW 08\*33\*19\***  
**ZWI 26\*15\*56\*** **LÖW 23\*02\*31\*** **WAA 01\*54\*52\*** **SCH 29\*27\*44\*** **WAA 02\*18\*01\*** **STI 02\*47\*03\*** **ZWI 02\*48\*02\*** **KRE 29\*38\*01\*** **STI 26\*33\*19\***  
**H+2** **A** **H\* +5** **A** **A** **T-3** **A W** **A** **A**

**18:31** **11:30** **18:17** **13:30** **13:33** **18:30** **15:53** **18:35** **16:58**  
**SON 72 URA** **MER 150 SAT** **VEN 144 EL6** **VEN 60 VAR** **MER 135 NEP** **VEN 120 FY9** **MER 144 GaZ** **MAR 0 SED** **MAR 180 PLU**  
**KRE 10\*06\*03\*** **KRE 23\*16\*38\*** **STI 28\*38\*07\*** **STI 29\*30\*40\*** **KRE 29\*10\*03\*** **ZWI 01\*56\*09\*** **LÖW 02\*59\*27\*** **KRE 18\*18\*56\***  
**WID 28\*06\*04\*** **SCH 23\*16\*40\*** **WAA 22\*38\*06\*** **KRE 29\*30\*39\*** **FIS 14\*10\*05\*** **WAA 01\*56\*09\*** **SCH 26\*59\*29\*** **STI 26\*28\*09\***  
**H+3** **T-1** **A** **H ---** **A K** **H ---** **A** **H W +4** **A**

**18:35** **12:03** **21:29** **17:12** **16:40** **18:58** **16:58** **21:24** **13:14** **17:42**  
**VEN 0 SED** **MAR 180 PLU** **SED 90 KN1** **MER 30 CER** **MAR 144 KN2** **MER 90 PAL** **MAR 0 SED** **MAR 180 PLU**  
**STI 26\*28\*09\*** **KRE 18\*18\*56\*** **STI 26\*29\*25\*** **KRE 27\*34\*48\*** **KRE 20\*23\*42\*** **LÖW 03\*04\*18\*** **KRE 18\*18\*56\*** **STI 26\*29\*25\*** **ZWI 27\*34\*48\*** **WAS 26\*23\*42\*** **STI 03\*04\*17\***  
**H W +4** **A\*** **A\*** **Hf +7** **A** **A** **A** **A** **A** **A** **A** **A**

**21:24** **13:14** **23:16** **23:16** **17:04** **17:42** **20:00** **21:24** **13:14** **17:42**  
**VEN 90 KN1** **SON 180 JUN** **VEN 60 CHI** **MAR 72 FY9** **MER 150 QUA** **VES 135 JUN** **CHI 90 CER** **VES 0 SED**  
**STI 26\*35\*48\*** **KRE 10\*50\*40\*** **STI 28\*51\*44\*** **KRE 19\*55\*23\*** **KRE 29\*26\*22\*** **KRE 29\*26\*22\*** **FIS 28\*50\*50\*** **LÖW 26\*35\*47\***  
**A K** **A** **A** **H+4** **H+4** **SCH 29\*26\*22\*** **ZWI 28\*50\*50\*** **A\*** **A**

**22:53** **18:27** **23:29** **18:22** **20:00** **21:40**  
**CHI 144 VES** **MER 90 ERI** **PAL 150 GSZ** **MER 0 VAR** **VEN 30 PAL** **VEN 135 PLU**  
**FIS 28\*51\*54\*** **KRE 23\*50\*36\*** **STI 02\*18\*01\*** **KRE 29\*32\*23\*** **ZWI 03\*06\*25\*** **ZWI 03\*11\*01\***  
**H\* --- Index 2!** **A** **H\* +10** **A** **A** **STE 18\*11\*00\***  
**A\*** **A** **A** **A** **A**

Juli 2017



im Index 3 korrigiert

Prognose für SW-Deutschland

Die roten Aspekte im Index 3 wurden nicht eingerechnet, da der Partnerplanet einen geringeren Rang hat als der Konjunktionsplanet.

Den ganzen Monat verbleibt Makemake im Konjunktionsbereich mit dem Supergalaktischen Zentrum GSZ. Dadurch wird bis zum 26. Juli 2017 im Index 3 der Mondknoten-Aspekt Kn2 144° GSZ aktiviert, dessen Wirksamkeit in dieser Dauerauslösung fragwürdig sein könnte. Daher wird er im alternativen Premeteo-Index nicht angerechnet. Dies wird vor allem für die zweite Monatshälfte bedeutsam, wo der alternative Index dann an 7 Tagen im negativen Bereich verläuft, der Premeteo-Index jedoch nur an 3 Tagen.  
 Vom 8. bis zum 11. befindet sich Vesta in Konjunktion mit dem aufsteigenden Mondknoten. Vom 19. bis 21. befindet sich Mars in Konjunktion mit Varuna. Am 22. und 23. ist die Sonne mit Varuna in Konjunktion und ab dem 24. mit Mars. Das besondere dieser Konjunktion ist, dass die Bewegungsgeschwindigkeit beider Himmelskörper im Verhältnis zur Erde sich nur wenig unterscheidet, so dass diese Konjunktion zwischen Sonne und Mars 7 Tage lang bis zum 30. andauert.

Langsamläufer-Impulse	H*	H*				T*	T*	T*			
Schnellläufer-Impulse	T		H	2T, 2Hf	2T	2T, H	H, 2T	2H, T	Hf	H, T	
Temperaturimpulse		?		K, W, K?	W		K?, 2K	K, 2W			
Premeteo-Index -zyklonal, + antizyklonal (Index 1+2+3)	9	12	2	7	-44	-1	-17	11	-20	3	
Pre.IX (ALTERNATIV)	16				-37			4			
Index 1 (12 - 12 UTC) exakte Aspekte des Tages	11	5	2	14	-9	-8	-17	4	-9	0	
Index 1 (ALTERNATIV)											
Symmetrien (0 - 0 UTC)	Sed 72 Nep Mer (03) T? (0,5/2) A T W -70	Ura 119 Ves Qua (01) A* H? (6/2) A* +7 Cer 67 Orc Eri (05) ? Ves 119 Ura GaZ (19) A* H* ? (+7)	Mer 134 Chi GaZ (13) T A ? -- Mar 4 Son Var (18) T W H ? Nep 149 Jup Mer (18) T* A K AW -7 Ven 46 Mar Eri (20) T H A ?	Mer 135 Chi Qua (06) T HI ? -- Orc 45 Son Hau (20) T* T* -14 Mer 22 Son Orc (23) T -14	Ves 120 Ura Qua (09) A* A* H? (6/2) +7? Hau 67 Qua Mer (13) HI -- Son 89 Eri Hau (14) A T ? -7/0	Cer 50p Jun GaZ (03) A* H? +7? Mer 45 Mak Cer (08) T A A* -- GaZ 150 Mar Sed (11) A ? A ? Mer 45 GSZ Cer (11) H A A* +7 Ura 44 Ven Nep (12) H K? H? (3/0) T K +7 Ven 45 Mar Ura (16) T H K? A ?	Ven 46 Ura Var (17) H K? H ? --	Qua 119 Ura Ves (00) H? (6/2) A* A* +7/0 Cer 40p Jun Qua (06) A* H* +7?	Jun 119 Pal Orc (16) A* T* H* ? GaZ 150 Son Sed (21) A ? A ?	Mer 119 Sat Eri (10) A H T* +7 Hau 60 Sat Mer (12) H? (12,5/4) A A +7 Mer 145 Plu Chi (14) A A ? --	
Index 2 (12 - 12 UTC)	-7	7	0	-7	-35	7	0	7	0	14	
Index 2 ALTERNATIV	0				-28			0			
ausgelöste Aspekte (= durch Konjunktionen aktivierte Aspekte)	Ves 120 GaZ H5 Ves 180 Kn2 H5 Kn2 144 GSZ H13	Kn2 144 GSZ H13	Kn2 144 GSZ H13	Kn2 144 GSZ H13	Kn2 144 GSZ H13	Mer 45 GSZ H1 Kn2 144 GSZ H13	Mer 45 GSZ H1 Kn2 144 GSZ H13	Kn2 144 GSZ H13	Ven 45 Var H2 Var 150 Qua T-11 Kn2 144 GSZ H13 Nep 135 Var H? (11/3,5) +10	Var 150 Qua T-11 Kn2 144 GSZ H13 Nep 135 Var H? (11/3,5) +10	
Index 3 (Summe)	5	0	0	0	0	0	0	0	-11	-11	
Index 3 ALTERNATIV											
Symbol-Prognose	3	2	3	3	5	3	5	2	3	3	
Wochentag	Di	Mi	Do	Fr	Sa	So	Mo	Di	Mi	Do	
Datum	11	12	13	14	15	16	17	18	19	20	
reale Wetterlage	H2: 2H*, 2Hf, H - 3T / +30			T3: 2T / -44			H3: 2H - 2T*, 4T / -18			T4: T*, T - Hf, 2H / -9	
Luftdruck (hpa) 06 UTC	1015,1	1012,6	1022,9	1017,7	1023	1025,4	1021,9	1018,2	1013,3	1012,2	
mittl. Temp. (°C)	20,1	20,4	18,3	19,4	17,6	19,5	22,4	25,1	26,8	22,7	
Sonnenscheindauer (h)	2,1	1,3	11,6	6,7	7,9	4,9	14,1	14,3	12,3	5,2	
Niederschlag (Liter)	0,1 / 7	10,5 / 23	0	0,5	0	0	0	0	0	2,9 / 3	
Bodenwetterlage 00 UTC (Kernlage des Druckgebiets, das SW-D beeinflusst)	Keil Azor-H, okkl T ü Nsee	fl H-Keil ü M-Alpen, T ü Ärmel	H ü Ärmel	H ü Slowakei	T-Rinne durch Höhenoakklusion mit K-Fro ü SW-D	H ü S-D	H ü M-Alpen	fl T-Zone ü Bisk, H ü Nsee u Kapart	T ü SW-GB, H ü NO-Balk	T s Island	
Bodenströmung 12 UTC zyklonal (z), antizyklonal (a)	fl a	fl a	a-z	a	a-z	fl a	a-z	fl a	fl z	a	
Strömung auf 500 hpa 00 UTC	WSW z	W a-z	NW a-z	W fl z	NW z	NW a-z	W a	W a	W a-z	SW a	
zutreffende Wettersymbole	3-5 hr	5 f	2-3 r	3 r	3 hr	3-5 hr	2-3 f	2 r	2 hr	3 r	

MAR 90 ERI KRE 23°51'45" WID 23°51'45" A	MER 72 EL6 LÖW 10°38'13" WAA 22°38'14" A	VEN 45 ERI ZWI 08°51'55" WID 23°51'55" H +2	MER 135 CHI FIS 28°47'39" T ---	SON 144 APO KRE 22°51'13" SCH 16°51'12" A W	MER 120 APO LÖW 16°57'56" WAA 02°01'10" T ---	VEN 45 URA WID 28°24'20" H K? ---	MAR 90 URA KRE 28°25'09" WID 28°25'09" A	SON 60 SED STI 26°37'20" A	MER 60 EL6 LÖW 22°39'47" WAA 22°39'47" A	MAR 150 JUN LÖW 08°52'07" STE 08°52'07" A	SON 72 FY9 KRE 19°58'48" WAA 01°58'48" A	FY9 144 KN2 WAA 01°59'27" WAS 25°59'27" A*	MAR 30 KN1 KRE 25°56'33" LÖW 25°56'33" A	MAR 60 SED KRE 26°35'32" STI 26°35'32" A	MER 45 FY9 LÖW 17°01'11" WAA 02°01'10" T ---	ORC 45 EL6 JUN 07°39'03" WAA 22°39'03" T -11	SON 30 KN1 KRE 25°44'03" LÖW 25°44'04" H K +2	MAR 150 QUA KRE 29°11'42" SCH 29°11'41" Hf Index 3	MER 144 CHI LÖW 22°42'41" FIS 28°42'40" A	VEN 120 GaZ LÖW 26°59'30" SCH 26°59'29" H* +11	SON 144 KN2 KRE 20°03'00" WAS 26°03'00" A K?	MER 150 NEP LÖW 14°03'47" FIS 14°03'46" A K	CHI 150 VES FIS 28°46'49" LÖW 28°46'49" A K	SON 90 ERI KRE 23°52'06" WID 25°52'06" T K -2	VEN 72 KN1 ZWI 13°46'31" LÖW 25°46'31" H +2	VEN 45 VAR KRE 26°59'28" SCH 26°59'29" H --- Index 3	SON 150 GaZ KRE 26°59'28" SCH 26°59'29" H --- Index 3	MAR 0 VAR KRE 28°53'59" KRE 28°53'59" KRE 28°53'59" H --- Index 3	VEN 90 ORC ZWI 07°33'25" JUN 07°33'27" T -2	SAT 60 EL6 SCH 22°38'16" WAA 22°38'16" H* (12,5/4) +7	MER 144 JUN STE 08°08'07" HI +7	CER 90 FY9 KRE 02°00'37" WAA 02°00'37" A*	VES 120 QUA LÖW 29°14'45" SCH 29°14'45" A*	VES 30 VAR LÖW 29°49'51" KRE 29°49'51" A*	MAR 120 CHI LÖW 28°44'10" FIS 28°44'10" A	MER 135 JUN STE 06°59'15" A	VEN 180 APO ZWI 17°28'05" SCH 17°28'04" A	VEN 135 EL6 ZWI 07°38'12" WAA 22°38'13" A	SON 72 GSZ KRE 20°17'59" WAA 02°17'60" A	URA 120 VES WID 28°21'53" LÖW 28°21'53" A*	VEN 45 MAR ZWI 11°54'55" KRE 26°54'55" T -2	MER 45 GSZ LÖW 17°17'58" WAA 02°17'59" H +1	VEN 90 NEP ZWI 14°00'47" FIS 14°00'47" T K -4	VEN 120 JUN WAA 15°24'15" SCH 22°12'43" A	MER 120 SAT LÖW 22°12'42" SCH 22°12'43" A	SON 144 SAT KRE 28°09'50" SCH 22°09'50" T -3	VEN 150 JUN ZWI 08°29'52" STE 08°29'53" A	MER 135 GaZ LÖW 11°59'29" SCH 26°59'29" A	VEN 72 CHI ZWI 10°47'14" KRE 26°59'29" FIS 28°47'13" A	MAR 150 GaZ KRE 26°59'29" SCH 26°59'29" A	JUN 120 ORC STE 07°38'23" JUN 07°38'22" T* -5	MAR 135 NEP KRE 28°59'30" FIS 13°59'30" T -4	SON 150 SAT KRE 22°29'36" SCH 22°29'35" A	CER 90 GSZ KRE 02°17'59" WAA 02°17'59" A*	MER 150 PLU LÖW 17°57'51" STE 17°57'52" A	JUP 72 GaZ WAA 14°59'29" SCH 26°59'29" A*	MER 60 JUP LÖW 14°59'55" WAA 14°59'55" AW	zu 2017 07 14	SON 90 EL6 KRE 22°38'37" WAA 22°38'37" T K? -6	SON 45 ORC KRE 22°36'36" JUN 07°36'35" T -3
---	---	--	---------------------------------------	--	--	---	---	----------------------------------	---	--	---	---	---	---	---	---	--	---	--	---	---	--	--	--	--	---	--	---	--	--	---------------------------------------	--	---	--	--	-----------------------------------	--	--	---	---	--	--	--	--	--	---	--	--	--	--	--	---	--	--	--	--	--	---------------	---	--

Den ganzen Monat verbleibt Makemake im Konjunktionsbereich mit dem Supergalaktischen Zentrum GSZ. Dadurch wird bis zum 26. Juli 2017 im Index 3 der Mondknoten-Aspekt Kn2 144\* GSZ aktiviert, dessen Wirksamkeit in dieser Dauerauslösung fragwürdig sein könnte. Daher wird er im alternativen Premeteo-Index nicht angerechnet. Dies wird vor allem für die zweite Monatshälfte bedeutsam, wo der alternative Index dann an 7 Tagen im negativen Bereich verläuft, der Premeteo-Index jedoch nur an 3 Tagen.  
Vom 8. bis zum 11. befindet sich Vesta in Konjunktion mit dem aufsteigenden Mondknoten. Vom 19. bis 21. befindet sich Mars in Konjunktion mit Varuna. Am 22. und 23. ist die Sonne mit Vanura in Konjunktion und ab dem 24. mit Mars. Das Besondere dieser Konjunktion ist, dass die Bewegungsgeschwindigkeit beider Himmelskörper im Verhältnis zur Erde sich nur wenig unterscheidet, so dass diese Konjunktion zwischen Sonne und Mars 7 Tage lang bis zum 30. andauert.

Juli 2017



Im Index 3 korrigiert  
Prognose für SW-Deutschland

Die roten Aspekte im Index 3 wurden nicht angerechnet, da der Partnerplanet einen geringeren Rang hat als der Konjunktionsplanet.

Langsamläufer-Impulse	T*, H*	T*	H*	T*	H*	H*	H*	H*	H*	H*, T*	
Schnellläufer-Impulse	H, T	T	H	H	H, T	2H	3T, H	Hf, T, H	T	T, Tf	
Temperaturimpulse				K, K?			4W			2W	
Premeteo-Index - zyklonal, + antizyklonal (Index 1+2+3)	-13	-20	-18	-9	-3	-10	-14	12	-2	-6	-14
Pre.IX (ALTERNATIV)											
Index 1 (12 - 12 UTC) exakte Aspekte des Tages	-2	-9	7	-5	8	5	-10	16	2	5	-14
Index 1 (ALTERNATIV)											
Symmetrien (0 - 0 UTC)	Var 1 Son Mar (17) T H ?	Gaz 8op Ven Cer (03) A H* +77 Pal 121 Jun Ore (20) A* H* T* +7	Qua 7 Sat Jun (10) H? (W2) A* +77 Son 1 Mar Var (17) T W T -14	Mer 119 Ura Gaz (02) T K? A A? (20) -7 Ura 119 Qua Mer (04) H? (62) T K? A ?	Ves 5 Orc Mer (07) H* H +77 Qua Top Ven Cer (20) T H* ? Mer 120 Ura Qua (23) T K? A H? (62) (-7)	Jup 73 Mar Qua (19) T T' -A -14 Qua 119 Ura Mer (17) H? (62) A T K? +70	Jup 73 Son Qua (05) T W T' H W -14	Ven 4op Sat Qua (16) A K T -??	Chi 90 Ven Qua (21) A W H? (5,52) T - Ven Top Qua Gaz (21) T A -7	Cer 90 Plu Qua (13) A H* +77 Cer 60 Pal Ore (17) A* A* H* ...	
Index 2 (12 -12 UTC)	0	0	-14	-7	-14	-14	0	0	0	-7	0
Index 2 (ALTERNATIV)											
ausgelöste Aspekte (= durch Konjunktionen aktivierte Aspekte)	Ves 30 GSZ H5 Var 150 Qua T-11 Kn2 144 GSZ H13 Nap 135 Var H* (11/3,5) +10	Ves 30 GSZ H5 Var 150 Qua T-11 Kn2 144 GSZ H13	Ves 30 GSZ H5 Var 150 Qua T-11 Kn2 144 GSZ H13	Son 60 GSZ H3 Pal 144 GSZ H5 Ves 30 GSZ H5 Kn2 144 GSZ H13	Son 60 GSZ H3 Pal 144 GSZ H5 Ves 30 GSZ H5 Kn2 144 GSZ H13	Son 60 GSZ H3 Pal 144 GSZ H5 Ves 30 GSZ H5 Kn2 144 GSZ H13	Mer 72 Jup T-4 Pal 144 GSZ H5	Mer 72 Jup T-4 Pal 144 GSZ H5	Mer 72 Jup T-4 Pal 144 GSZ H5	Mer 135 Sat T-4 Pal 144 GSZ H5	Pal 144 GSZ H5
Index 3 (Summe)	-11	-11	-11	3	3	3	-4	-4	-4	-4	0
Index 3 ALTERNATIV											
Symbol-Prognose	5	5	5	3	3	3	5	3	3	3	5
Wochentag	Fr	Sa	So	Mo	Di	Mi	Do	Fr	Sa	So	Mo
Datum	21	22	23	24	25	26	27	28	29	30	31
reale Wetterlage	T5: 2T*, 3T - H*, 4H / -63			H5: 3H*, Hf, 4H - 5T / -14			T6: T*, Tf, T - H* / -20				
Luftdruck (hpa) 06 UTC	1014,8	1013,6	1017,6	1008,2	1012,1	1011,9	1011,8	1014,3	1017,6	1011,9	1015,4
mittl. Temp.(°C)	21,2	22,6	20	16,8	15,5	17,2	19,4	20,4	22	22,8	22,5
Sonnenscheindauer (h)	8,4	9,8	2,9	1,1	0,5	2,9	1,4	8,9	10,3	8,4	7,5
Niederschlag (Liter)	7,6 / 38	0,1	0	7,7 / 14	14,2 / 12	2,2 / 26	9,1 / 4	0 / 10	0	4 / 8	0 / 1
Bodenwetterlage 00 UTC (Kernlage des Druckgebietes, das SW-D beeinflusst)	schm H-Keil, T ü Ir	T ü Ir u NW-D	T ü GB, Azor-H	T ü F, T ü Nsee	T ü O-Eu, T ü GG	T ü NO-D	fl H-Keil von SW-F	T w Schottl	Azor- H, T ü GB	T ü S-England, H ü O-Balk	T bei Schottl u. ü Nm
Bodenströmung 12 UTC zyklonal (z), antizyklonal (a)	z	fl z	a	fl a	fl z	fl a	fl a	a	a-z	fl z	fl z
Strömung auf 500 hpa 00 UTC	SW z	SW z	SW z	SW z	NW z	NW z	W a	W a-z	W fl a	SW a-z	SW z
zutreffende Wettersymbole	3 hr	3 hr	5 r	5 hr	5 hr	5 hr	5 r	3 r	2 hr	3 r	3 hr

VEN 150 PLU ZWI 17°51'45" STE 17°51'46" A	MER 0 KNI LÖW 25°30'59" LÖW 25°30'59" A	MER 90 SED LÖW 26°39'05" STI 26°39'06" A	PLU 135 VES STE 17°47'24" JUN 02°47'24" A*	SON 60 GSZ LÖW 02°17'57" WAA 02°17'58" H +6	PAL 120 ORC STI 07°49'12" LÖW 04°12'29" LÖW 04°12'29" T W -6	SON 0 MAR LÖW 04°12'29" LÖW 04°12'29" T W -6	VEN 72 ORC ZWI 25°51'37" JUN 07°51'37" A	VEN 180 GAZ ZWI 26°59'29" SCH 26°59'28" A	VEN 90 CHI ZWI 28°30'17" FIS 28°30'18" A W	SON 72 SED LÖW 08°42'12" STI 26°42'11" A	
SON 90 URA KRE 28°27'16" WID 28°27'16" A	VES 30 FY9 JUN 02°05'31" WAA 02°05'31" A*	VEN 72 VES ZWI 20°25'30" JUN 02°25'29" H +2	MAR 60 GSZ LÖW 02°17'58" WAA 02°17'58" A*	MAR 135 APO LÖW 02°57'46" SCH 17°57'46" H +1	MER 30 VAR JUN 00°02'29" T W -	SON 72 JUP LÖW 04°22'36" WAA 16°22'36" T W -	PAL 144 GSZ STI 08°17'57" JUN 05°10'54" A*	VES 120 JUN JUN 05°10'54" STE 05°10'54" A*	VEN 60 URA ZWI 28°31'09" WID 28°31'10" A	VEN 30 VAR KRE 00°11'04" LÖW 00°11'04" A	
MER 144 PLU LÖW 23°51'44" STE 17°51'45" A	SON 0 VAR KRE 29°57'19" LÖW 29°57'20" T -6	MER 120 GAZ LÖW 26°59'28" SCH 26°59'29" A	PAL 72 KNI STI 07°24'35" WAS 25°24'36" A*	MAR 144 GAZ LÖW 02°59'29" SCH 26°59'29" A	VEN 60 ERI ZWI 23°51'60" WID 23°51'60" H +2	MER 45 JUP JUN 01°22'40" WAA 16°22'40" A	MER 30 GSZ JUN 02°17'57" WAA 02°17'57" A	CER 60 ORC KRE 07°53'24" JUN 07°53'24" A	MER 120 JUN JUN 04°55'44" STE 04°55'44" A	JUN 72 EL6 STE 04°44'37" WAA 22°44'37" H* +5	
MER 120 ERI LÖW 23°52'11" WID 23°52'11" H +1	SAT 135 PAL SCH 22°03'21" STI 07°03'21" T -	PLU 30 APO STE 17°47'59" SCH 17°47'59" A*	CER 72 ERI KRE 05°52'05" WID 23°52'06" T -5	VEN 45 PAL ZWI 22°37'30" LÖW 04°04'11" A	MAR 30 VES LÖW 04°04'11" LÖW 04°04'11" T -4	MAR 72 JUP LÖW 04°23'24" WAA 16°23'23" Hf -9	SON 150 JUN LÖW 05°20'54" STE 05°20'54" T -3	SON 135 SAT LÖW 06°44'43" SCH 21°44'43" T -3	VEN 180 QUA LÖW 28°31'04" FIS 28°31'04" H* (11/4) +8	SON 30 CER LÖW 08°55'18" KRE 06°55'18" A	
PAL 120 JUP STI 06°39'39" STE 06°39'39" A*	VES 30 GSZ WAA 02°17'58" H* +5	MAR 60 FY9 LÖW 02°06'28" WAA 02°06'28" A	VEN 180 SAT ZWI 21°58'10" SCH 21°58'10" A K	MER 120 QUA LÖW 29°05'51" SCH 29°05'51" A	SON 30 VES LÖW 04°07'59" LÖW 04°07'59" A	PAL 144 FY9 STI 08°09'24" WAA 02°09'24" A*	MAR 144 QUA LÖW 05°02'57" SCH 29°02'57" A	URA 30 CHI WID 28°31'04" FIS 28°31'04" H* (11/4) +8	SON 144 NEP LÖW 07°46'19" FIS 13°46'18" A W	JUN 72 QUA WAA 16°59'46" SCH 28°59'46" T -6	
SON 120 CHI KRE 28°41'35" FIS 28°41'34" A			MER 120 URA LÖW 28°29'18" WID 28°29'19" T K? -1	VEN 120 EL6 ZWI 22°41'33" WAA 22°41'31" A		VEN 60 KNI ZWI 25°14'29" LÖW 25°14'28" A W	MER 135 PLU JUN 02°41'11" STE 17°41'12" T -1		MAR 135 SAT LÖW 06°41'48" SCH 21°41'49" Tf -10		
SON 135 NEP KRE 28°56'54" FIS 13°56'54" A			CER 180 JUN KRE 05°57'55" STE 05°57'56" A*	SON 144 GAZ LÖW 02°59'29" SCH 26°59'29" A		SON 144 QUA LÖW 05°03'20" SCH 29°03'20" H W +3	MAR 150 JUN LÖW 05°16'13" STE 05°16'13" A		SON 30 ORC LÖW 07°55'12" JUN 07°55'13" A		
SON 150 QUA KRE 29°09'12" SCH 29°09'12" T -3			MER 150 CHI LÖW 28°37'37" FIS 28°37'38" A	SON 135 APO LÖW 03°02'33" SCH 18°02'32" T -3		MER 30 FY9 JUN 02°09'49" WAA 02°09'49" A	VEN 30 SED ZWI 26°41'12" STI 26°41'12" H +2				
			SON 60 FY9 LÖW 02°07'17" WAA 02°07'18" H +3								

07.08.2017  
Juli 2017



Prognose für SW-Deutschland

Den ganzen Monat verbleibt Makemake im Konjunktionsbereich mit dem Supergalaktischen Zentrum GSZ. Dadurch wird bis zum 26. Juli 2017 im Index 3 der Mondknoten-Aspekt Kn2 144° GSZ aktiviert, dessen Wirksamkeit in dieser Dauerauslösung fragwürdig sein könnte. Daher wird er im alternativen Premeteo-Index nicht angerechnet. Dies wird vor allem für die zweite Monatshälfte bedeutsam, wo der alternative Index dann an 7 Tagen im negativen Bereich verläuft, der Premeteo-Index jedoch nur an 3 Tagen. Vom 8. bis zum 11. befindet sich Vesta in Konjunktion mit dem aufsteigenden Mondknoten. Vom 19. bis 21. befindet sich Mars in Konjunktion mit Varuna. Am 22. und 23. ist die Sonne mit Varuna in Konjunktion und ab dem 24. mit Mars. Das besondere dieser Konjunktion ist, dass die Bewegungsgeschwindigkeit beider Himmelskörper im Verhältnis zur Erde sich nur wenig unterscheidet, da dass diese Konjunktion zwischen Sonne und Mars 7 Tage lang bis zum 30. andauert.

Table with 10 columns and multiple rows. Rows include: Langsamläufer-Impulse, Schnellläufer-Impulse, Temperaturimpulse, Premeteo-Index, Pre.IX (ALTERNATIV), Index 1 (12 - 12 UTC), Index 1 (ALTERNATIV), Symmetrien (0 - 0 UTC), Index 2 (12 - 12 UTC), Index 2 ALTERNATIV, ausgelebte Aspekte, Index 3 (Summe), Index 3 ALTERNATIV, Symbol-Prognose, Symbol-Prognose altern., Wochentag, Datum, reale Wetterlage, Luftdruck, mittl. Temp., Sonnenscheindauer, Niederschlag, Bodenwetterlage, Bodenströmung, and zutreffende Wettersymbole.

Table with 10 columns and multiple rows. Rows include: Übertrag, Index 1: +7, Index 2: 0, and various celestial event entries with dates and times (e.g., MER 144 KN2, SON 45 ORC, etc.).



Juli 2017



Prognose für SW-Deutschland

Langsamläufer-Impulse	H*	H*				T*	T*	T*			
Schnellläufer-Impulse	T		H	2T, 2Hf	2T	2T, H	H, 2T	2H, T	Hf	H, T	
Temperaturimpulse		?		K, W, K?	W		K?, 2K	K, 2W			
Premeteo-Index -zyklonal, + antizyklonal (Index 1+2+3)	27	25	15	20	-31	13	-3	24	5	26	
Pre.IX (ALTERNATIV)	21	12	2	7	-37	0	-16	4	-8	13	
Index 1 (12 - 12 UTC) exakte Aspekte des Tages	11	5	2	14	-9	-8	-17	4	-9	0	
Index 1 (ALTERNATIV)											
Symmetrien (0 - 0 UTC)	Sed 72 Nep Mer (03) T? (0,5/2) A T W -7/0	Ura 119 Ves Qua (01) A* H? (6/2) A* +7 Cer 67 Orc Eri (05) ? Ves 119 Ura GaZ (19) A* H* ? (+7)	Mer 134 Chi GaZ (13) T A ? - Mar 4 Son Var (18) T W H ? Nep 149 Jup Mer (18) T* A K AW -7 Ven 46 Mar Eri (20) T H A ?	Mer 135 Chi Qua (06) T Hf ? - Orc 45 Son Hau (20) T* T* -14 Mer 22 Son Orc (23) T -14	Ves 120 Ura Qua (09) A* A* H? (6/2) +7 Hau 67 Qua Mer (13) Hf - Son 89 Eri Hau (14) A T ? -7/0	Cer Sop Jun GaZ (03) A* Hf* +7 Mer 45 Mak Cer (08) T A A* - GaZ 150 Mar Sed (11) A ? A ? Mer 45 GSZ Cer (11) H A A* +7 Ura 44 Ven Nep (12) H K? H? (3/0) T K +7 Ven 45 Mar Ura (16) T H K? A ?	Ven 46 Ura Var (17) H K? H ? -	Qua 119 Ura Ves (00) H? (6/2) A* A* +7/0 Cer 40p Jun Qua (06) A* H* +7?	Jun 119 Pal Orc (16) A* T* H* ? GaZ 150 Son Sed (21) A ? A ?	Mer 119 Sat Eri (10) A H T* +7 Hau 60 Sat Mer (12) H (12,5/4) A A +7 Mer 145 Plu Chi (14) A A ? -	
Index 2 (12 - 12 UTC)	-7	7	0	-7	-35	7	0	7	0	14	
Index 2 ALTERNATIV	0				-28			0			
ausgelöste Aspekte (= durch Konjunktionen aktivierte Aspekte)	Ves 120 GaZ H5 Ves 180 Kn2 H5 Kn2 144 GSZ H13	Kn2 144 GSZ H13	Kn2 144 GSZ H13	Kn2 144 GSZ H13	Kn2 144 GSZ H13	Mer 45 GSZ H1 Kn2 144 GSZ H13	Mer 45 GSZ H1 Kn2 144 GSZ H13	Kn2 144 GSZ H13	Ven 45 Var H2 Var 150 Qua T-11 Kn2 144 GSZ H13 Nep 135 Var H (11/3,5) +10	Var 150 Qua T-11 Kn2 144 GSZ H13 Nep 135 Var H (11/3,5) +10	
Index 3 (Summe)	23	13	13	13	13	14	14	13	14	12	
Index 3 ALTERNATIV	10	0	0	0	0	1	1	0	1	-1	
Symbol-Prognose	2	2	2	2	3	3	3	2	3	2	
Wochentag	Di	Mi	Do	Fr	Sa	So	Mo	Di	Mi	Do	
Datum	11	12	13	14	15	16	17	18	19	20	
reale Wetterlage	H2: 2H*, 2Hf, H - 3T / +87				T3: 2T / -31		H3: 2H - 2T*, 4T / +10		T4: T*, T - Hf, 2H / +29		H4: H, T / +26
Luftdruck (hpa) 06 UTC	1015,1	1012,6	1022,9	1017,7	1023	1025,4	1021,9	1018,2	1013,3	1012,2	
mittl. Temp. (°C)	20,1	20,4	18,3	19,4	17,6	19,5	22,4	25,1	26,8	22,7	
Sonnenscheindauer (h)	2,1	1,3	11,6	6,7	7,9	4,9	14,1	14,3	12,3	5,2	
Niederschlag (Liter)	0,1 / 7	10,5 / 23	0	0,5	0	0	0	0	0	2,9 / 3	
Bodenwetterlage 00 UTC (Kernlage des Druckgebiets, das SW-D beeinflusst)	Keil Azor-H, okkl T ü Nsee	fl H-Keil ü M-Alpen, T ü Ärmel	H ü Ärmel	H ü Slowakei	T-Rinne durch Höhenokklusion mit K-Fo ü SW-D	H ü S-D	H ü M-Alpen	fl T-Zone ü Bisk, H ü Nsee u Kapart	T ü SW-GB, H ü NO-Balk	T s Island	
Bodenströmung 12 UTC zyklonal (z), antizyklonal (a)	fl a	fl a	a-z	a	a-z	fl a	a-z	fl a	fl z	a	
Strömung auf 500 hpa 00 UTC	WSW z	W a-z	NW a-z	W fl z	NW z	NW a-z	W a	W a	W a-z	SW a	
zutreffende Wettersymbole	3-5 f	5 f	2-3 r	3 hr	3 r	3-5 hr	2-3 hr	2 r	2 hr	3 hr	

MAR 90 ERI KRE 23°51'45" WID 23°51'45" A	MER 72 EL6 LÖW 10°38'13" WAA 22°38'14" A	VEN 45 ERI ZWI 08°51'55" WID 23°51'55" H +2	MER 135 CHI FIS 28°47'39" T ---	SON 144 APO KRE 22°51'13" SCH 16°51'12" A W	MAR 30 KN1 KRE 25°56'33" LÖW 25°56'33" A	MAR 60 SED KRE 26°35'32" STI 26°35'32" A	MER 45 FY9 LÖW 17°01'11" WAA 02°01'10" T ---	VEN 45 URA ZWI 13°24'19" WID 28°24'20" H K? ---	MAR 90 URA KRE 28°25'09" WID 28°25'09" A	SON 60 SED KRE 26°37'21" STI 26°37'20" A	MER 60 EL6 LÖW 22°39'47" WAA 22°39'47" A
MER 150 JUN LÖW 08°52'07" STE 08°52'07" A	SON 72 FY9 KRE 19°58'48" WAA 01°58'48" A	FY9 144 KN2 WAA 01°59'27" WAS 25°59'27" A*	MAR 30 KN1 KRE 25°56'33" LÖW 25°56'33" A	MAR 60 SED KRE 26°35'32" STI 26°35'32" A	MER 45 FY9 LÖW 17°01'11" WAA 02°01'10" T ---	MAR 90 URA KRE 28°25'09" WID 28°25'09" A	SON 60 SED KRE 26°37'21" STI 26°37'20" A	MAR 150 QUA KRE 29°11'42" SCH 29°11'41" Hf Index 3	MAR 150 QUA KRE 29°11'42" SCH 29°11'41" Hf Index 3	MER 144 CHI LÖW 22°42'41" FIS 28°42'40" A	
VES 120 GaZ LÖW 26°59'30" SCH 26°59'29" H* +11	SON 144 KN2 KRE 20°03'00" WAS 26°03'00" A K?	MER 150 JUN LÖW 14°03'47" FIS 14°03'46" A K	MER 150 VES LÖW 14°03'47" FIS 14°03'46" A K	CHI 150 VES LÖW 14°03'47" FIS 14°03'46" A K	SON 90 ERI KRE 23°52'06" LÖW 25°46'31" T K-2	VEN 72 KN1 KRE 29°50'59" H +2	VEN 45 VAR KRE 26°59'28" SCH 26°59'29" H --- Index 3	SON 150 GaZ KRE 26°59'28" SCH 26°59'29" H --- Index 3	MAR 0 VAR KRE 29°53'59" KRE 29°53'59" H --- Index 3		
VEN 90 ORC ZWI 07°33'25" JUN 07°33'27" T -2	SAT 60 EL6 SCH 22°38'16" WAA 22°38'16" H* (12,5/4) +7	MER 144 JUN STE 08°08'07" Hf +7	CER 90 FY9 WAA 02°00'37" A*	VEN 120 QUA LÖW 29°14'45" SCH 29°14'45" A*	VEN 30 VAR LÖW 29°49'51" KRE 29°49'51" A*	MAR 120 CHI LÖW 28°44'10" A W	MER 135 JUN STE 06°59'15" A	VEN 180 APO ZWI 17°28'05" SCH 17°28'04" A			
VEN 135 EL6 ZWI 07°38'12" WAA 22°38'13" A	SON 72 GSZ KRE 20°17'59" WAA 02°17'60" A	URA 120 VES WID 28°21'53" LÖW 28°21'53" A*	VEN 45 MAR ZWI 11°54'55" KRE 26°54'55" T-2	MER 45 GSZ LÖW 17°17'58" WAA 02°17'59" H +1	VEN 90 NEP ZWI 14°00'47" FIS 14°00'47" T K-4	VEN 120 JUP WAA 15°24'15" SCH 22°12'43" A	MER 120 SAT LÖW 22°12'42" SCH 22°12'43" A	SON 144 SAT KRE 28°09'50" SCH 22°09'50" T -3			
VEN 150 JUN ZWI 08°29'52" STE 08°29'53" A	MER 135 GaZ LÖW 11°59'29" SCH 26°59'29" A	MER 135 QUA LÖW 14°16'45" SCH 29°16'47" Hf +7	VEN 144 PLU ZWI 11°59'22" STE 17°59'21" T-2	MER 45 CER LÖW 17°31'27" KRE 02°31'28" A	MAR 144 SAT KRE 28°18'53" SCH 22°18'53" A	JUP 45 VES WAA 15°24'23" JUN 00°24'23" T* -5	MAR 135 NEP KRE 28°59'30" FIS 13°59'30" T -4				
SON 150 SAT KRE 22°29'36" SCH 22°29'35" A	CER 90 GSZ KRE 02°17'59" WAA 02°17'59" A*	MAR 150 GaZ KRE 26°59'29" SCH 26°59'29" A	MER 150 PLU LÖW 17°57'51" STE 17°57'52" A	JUP 72 GaZ WAA 14°59'29" SCH 26°59'29" A*	MER 60 JUP LÖW 14°59'55" WAA 14°59'55" AW	SON 90 EL6 KRE 22°38'37" WAA 22°38'37" T K? -6	SON 45 ORC KRE 22°36'36" JUN 07°36'35" T -3				

Zu 2017 07 14

Juli 2017



Prognose für SW-Deutschland

Langsamläufer-Impulse		T*, H*		T*		H*		H*		H*		H*, T*		
Schnellläufer-Impulse	H, T	T	H	H	H, T	2H	3T, H	Hf, T, H	T	T, Tf				
Temperaturimpulse				K, K?			4W			2W				
Premeteo-Index -zyklonal, + antizyklonal (Index 1+2+3)	15	-2	0	14	20	8	-9	17	3	-1	-9			
Pre.IX (ALTERNATIV)	2	-15	-13	1	7	-5								
Index 1 (12 - 12 UTC) exakte Aspekte des Tages	-2	-9	7	-5	8	5	-10	16	2	5	-14			
Index 1 (ALTERNATIV)														
Symmetrien (0 - 0 UTC)	Var 1 Son Mar (17) T H ?	Gaz 8op Ven Cer (03) A H* +77 Pal 121 Jun Ore (20) A* H* T* +7	Qua 7 Sat Jun (10) H* (W2) A* +77 Son 1 Mar Var (17) T W T -14	Mer 119 Ura GaZ (02) T K? A A* (2)2 -7 Ura 119 Qua Mer (04) H* (62) T K? A ?	Ves 5 Orc Mer (07) H* H +77 Qua 7op Ven Cer (20) T H* ? Mer 120 Ura Qua (23) T K? A H* (62) (7)	Jup 73 Mar Qua (19) T T* A -14 Qua 119 Ura Mer (17) H* (62) A T K? +70	Jup 73 Son Qua (05) T W T* H W -14	Ven 4op Sat Qua (16) A K T -7?	Chi 90 Ven Qua (21) A W H* (5,52) T - Ven 1op Qua GaZ (21) T A -7	Cer 8op Plu Qua (13) A* H* +77 Cer 60 Pal Ore (17) A* A* H* ...				
Index 2 (12 -12 UTC)	0	0	-14	-7	-14	-14	0	0	0	-7	0			
Index 2 ALTERNATIV														
ausgelöste Aspekte (= durch Konjunktionen aktivierte Aspekte)	Ves 30 GSZ H5 Var 150 Qua T-11 Kn2 144 GSZ H13 Nap 135 Var H* (11/3,5) +10	Ves 30 GSZ H5 Var 150 Qua T-11 Kn2 144 GSZ H13	Ves 30 GSZ H5 Var 150 Qua T-11 Kn2 144 GSZ H13	Son 60 GSZ H3 Pal 144 GSZ H5 Ves 30 GSZ H5 Kn2 144 GSZ H13	Son 60 GSZ H3 Pal 144 GSZ H5 Ves 30 GSZ H5 Kn2 144 GSZ H13	Son 60 GSZ H3 Mar 72 Jup T-4 Pal 144 GSZ H5 Kn2 144 GSZ H13	Mar 72 Jup T-4 Pal 144 GSZ H5	Mar 72 Jup T-4 Pal 144 GSZ H5	Mar 72 Jup T-4 Pal 144 GSZ H5	Mar 135 Sat T-4 Pal 144 GSZ H5	Pal 144 GSZ H5			
Index 3 (Summe)	17	7	7	26	26	17	1	1	1	1	5			
Index 3 ALTERNATIV	4	-6	-6	13	13	4								
Symbol-Prognose	2	3	3	2	2	3	3	2	3	3	3			
Wochentag	Fr	Sa	So	Mo	Di	Mi	Do	Fr	Sa	So	Mo			
Datum	21	22	23	24	25	26	27	28	29	30	31			
reale Wetterlage	T5: 2T*, 3T - H*, 4H / +47			H5: 3H*, Hf, 4H - 5T / +19									T6: T*, T, Tt - H* / -10	
Luftdruck (hpa) 06 UTC	1014,8	1013,6	1017,6	1008,2	1012,1	1011,9	1011,8	1014,3	1017,6	1011,9	1015,4			
mittl. Temp.(°C)	21,2	22,6	20	16,8	15,5	17,2	19,4	20,4	22	22,8	22,5			
Sonnenscheindauer (h)	8,4	9,8	2,9	1,1	0,5	2,9	1,4	8,9	10,3	8,4	7,5			
Niederschlag (Liter)	7,6 / 38	0,1	0	7,7 / 14	14,2 / 12	2,2 / 26	9,1 / 4	0 / 10	0	4 / 8	0 / 1			
Bodenwetterlage 00 UTC (Kernlage des Druckgebets, das SW-D beeinflusst)	schm H-Keil, T ü Ir	T ü Ir	T ü GB, Azor-H	T ü F, T ü See	T ü O-Eu, T ü Gg	T ü NO-D	fl H-Keil von SW-F	T w Schottl	Azor- H, T ü GB	T ü S-England, H ü O-Balk	T bei Schottl u. ü Nm			
Bodenströmung 12 UTC zyklonal (z), antizyklonal (a)	z	fl z	a	fl a	fl z	fl a	fl a	a	a-z	fl z	fl z			
Strömung auf 500 hpa 00 UTC	SW z	SW z	SW z	SW z	NW z	NW z	W a	W a-z	W fl a	SW a-z	SW z			
zutreffende Wettersymbole	3 hr	3 r	5 hr	5 f	5 f	5 hr	5 hr	3 hr	2 hr	3 r	3 r			

VEN 150 PLU ZWI 17°51'45" STE 17°51'46" A	00:17	06:56	MER 0 KNI	MER 90 SED LÖW 26°39'05" STI 26°39'06" A	04:26	PLU 135 VES STE 17°47'24" JUN 02°47'24" A*	01:25	SON 60 GSZ LÖW 02°17'57" WAA 02°17'58" H+6	01:02	PAL 120 ORC STI 07°49'12" JUN 07°49'12" H* +5	00:30	SON 0 MAR LÖW 04°12'29" LÖW 04°12'29" T W -6	00:32	VEN 72 ORC ZWI 25°51'37" JUN 07°51'37" A	00:11	VEN 180 GAZ ZWI 26°59'29" SCH 26°59'28" A	07:46	VEN 90 CHI ZWI 28°30'17" FIS 28°30'18" A W	17:48	SON 72 SED LÖW 08°42'12" STI 26°42'11" A
SON 90 URA KRE 28°27'16" WID 28°27'16" A	00:26	13:02	VEN 72 VES ZWI 20°25'30" JUN 02°25'29" H+2	06:24	MAR 60 GSZ LÖW 02°17'58" WAA 02°17'58" A	01:52	MAR 135 APO LÖW 02°57'46" SCH 17°57'46" H+1	02:34	MER 30 VAR LÖW 00°02'30" WAA 16°22'36" T W ...	00:35	SON 72 JUP LÖW 04°12'29" WAA 16°22'36" T W ...	05:12	PAL 144 GSZ STI 08°17'57" JUN 07°51'37" H* +5	02:01	VES 120 JUN JUN 05°10'54" STE 05°10'54" A*	05:12	VEN 60 URA ZWI 28°31'09" WID 28°31'10" A	08:04	VEN 30 VAR KRE 00°11'04" WID 00°11'04" A	18:45
MER 144 PLU LÖW 23°51'44" STE 17°51'45" A	00:34	14:09	MER 120 GAZ LÖW 26°59'28" SCH 26°59'29" T -6	10:59	PAL 72 KN2 STI 07°24'35" WAS 25°24'36" A*	07:08	MAR 144 GAZ LÖW 02°59'29" SCH 26°59'29" A	06:46	VEN 60 ERI ZWI 23°51'60" WAA 16°22'40" H+2	05:27	MER 45 JUP JUN 01°22'40" WAA 16°22'40" A	02:12	MER 30 GSZ JUN 02°17'57" WAA 02°17'57" A	02:12	CER 60 ORC KRE 07°53'24" JUN 07°53'24" A*	11:07	MER 120 JUN ZWI 04°55'44" STE 04°55'44" H* +5	18:19	JUN 72 EL6 STE 04°44'37" WAA 22°44'37" H* +5	22:44
MER 120 ERI LÖW 23°52'11" WID 23°52'11" H+1	00:42	20:06	PLU 30 APO STE 17°47'59" SCH 17°47'59" T* ...	15:28	CER 72 ERI KRE 05°52'05" WID 23°52'06" T* -5	13:42	VEN 45 PAL ZWI 22°37'30" STI 07°37'29" A	04:42	MAR 30 VES LÖW 04°04'11" WAA 16°23'23" A	19:49	MAR 72 JUP LÖW 04°23'24" STE 05°20'54" Hf -9	07:45	SON 150 JUN LÖW 05°20'54" STE 05°20'54" T -3	05:36	SON 135 SAT LÖW 06°44'43" SCH 21°44'43" T -4	16:40	VEN 180 GAZ ZWI 29°00'48" SCH 29°00'48" T -4	18:22	SON 30 CER LÖW 08°55'18" KRE 08°55'18" A	23:17
PAL 120 JUN STI 06°39'39" STE 06°39'39" A*	05:42	23:52	MAR 60 FY9 LÖW 02°06'28" WAA 02°06'28" A	18:44	VEN 180 SAT ZWI 21°58'10" SCH 21°58'10" A K	14:55	MER 120 QUA LÖW 29°05'51" SCH 29°05'51" A	04:56	SON 30 VES LÖW 04°07'59" JUN 04°07'59" A	23:05	PAL 144 FY9 STI 08°09'24" WAA 02°09'24" A*	11:10	MAR 144 QUA LÖW 05°02'57" SCH 29°02'57" A	08:20	URA 30 CHI WID 28°31'04" FIS 28°31'04" H* (11/4) +8	19:08	SON 144 NEP LÖW 07°46'19" FIS 13°46'18" A W	18:26	JUN 72 QUA WAA 16°59'46" SCH 28°59'46" T* -6	23:33
SON 120 CHI KRE 28°41'35" FIS 28°41'34" A	06:26		MER 120 URA LÖW 28°29'18" WID 28°29'19" T K? -1	16:33	VEN 120 EL6 ZWI 22°41'33" WAA 22°41'33" A	06:07				11:35	VEN 60 KNI ZWI 25°14'29" LÖW 25°14'28" A W	11:09	MER 135 PLU JUN 02°41'11" STE 17°41'12" T -1	11:09	MAR 135 SAT LÖW 06°41'48" SCH 21°41'48" Tf -10	21:50	MAR 135 SAT LÖW 06°41'48" SCH 21°41'48" Tf -10	21:50		
SON 135 NEP KRE 28°56'54" FIS 13°56'54" A	12:51		CER 180 JUN KRE 05°57'55" STE 05°57'56" A*	19:20	SON 144 GAZ LÖW 02°59'29" SCH 26°59'29" A	18:25				22:15	SON 144 QUA LÖW 05°03'20" SCH 29°03'20" H W +3	16:35	MAR 150 JUN LÖW 05°16'13" STE 05°16'13" A	16:35	SON 30 ORC LÖW 07°55'12" JUN 07°55'13" A	22:09				
SON 150 QUA KRE 29°09'12" SCH 29°09'12" T -3	18:00		MER 150 CHI LÖW 28°37'37" FIS 28°37'38" A	19:21	SON 135 APO LÖW 03°02'33" SCH 18°02'32" A	19:42				23:06	MER 30 FY9 JUN 02°09'49" WAA 02°09'49" A	17:49	VEN 30 SED ZWI 26°41'12" STI 26°41'12" H+2							
			SON 60 FY9 LÖW 02°07'17" WAA 02°07'18" H+3	20:34																

## Juli 2017: Fehlprognosen

Datum	Vorzeichen Symbol	Analyse
1.	+25 5 f	Tiefdrucksystem Rasmund mit drei Kernen über Nordfrankreich, dem Baltikum und Westrussland. +17 Punkte stammten allein aus dem Index 3, die im korrigierten Index 3 nicht mehr berechnet wurden. Der einzige T-Aspekt des Tages war Merkur 144° Apogäum T. Am Abend des 30. Juni hatte Merkur die beiden, im Impuls sich widersprechenden Aspekte Merkur 72° Makemake T und Merkur 72° GSZ Hf. Die Positionen von Makemake und GSZ lagen damit genau auf der Hälfte zwischen Merkur 144° Apogäum T. Der T-Impuls erschien verstärkt.
2.	+7 5 hr	Tief Rasmund II über Baltikum. <b>Korrigierter Index richtig. Flacher Index.</b>
8.	+21 2-3 hr	Kleines Tief Uwe über Norddeutschland. <b>Korrigierter Index richtig,</b>
9.	+32 5 f	Flache Tiefdruckzelle über Westdeutschland. Es wurden im Index1 die beiden Asteroiden-Aspekte Ceres 180° Quaoar H* und Vesta 0° aufsteigender Mondknoten H* exakt, die wegen der Verdoppelungsregel bei 0° und 180° mit jeweils +10 Punkten angerechnet worden waren und dadurch den korrigierten Premeteo-Index zu hoch im positiven Bereich ansteigen ließen. Die Atmosphäre war durch die große Wärme im mittleren Luftdruckbereich stark labilisiert und die H*-Aspekte fanden keinerlei Abdruck in ihrem Strömungsverhalten. Im negativen Bereich lag jedoch der Index 2 mit der Symmetrie Orcus 45° Mars Haumea A T* A -7.
17.	-3 2-3 hr	Hoch Hanna über Alpen. <b>Flacher Index, einzelner, negativer Tag.</b> Hoch Hanna über den mittleren Alpen. Der negative Premeteo-Index stammte aus Index 1. Es traten drei Venus-Aspekte Venus 45° Uranus H, Venus 72° KN1 T und Venus 90° Neptun T auf, sowie Orc 45° Haumea T*. Einerseits stabilisierte die Abkühlung die Atmosphäre, andererseits deuteten die retrograde Bewegung des Hochdruckkerns und die Häufung der Venus-Aspekte auf eine <b>mögliche Impulsumkehrung</b> hin. <b>Auf 500 hpa antizyklonal.</b>
18.	+24 2 r	Flache Tiefdruckzone über Biskaya. Der negative Premeteo-Index von -3 am Vortag machte sich am 18. dann doch mit einer flachen zyklonalen Strömung über der Biskaya bemerkbar, die die Isobare von Hoch Irmingard über der Nordsee schon deutlich zum Tiefdruckbereich nahe unserer Region krümmte. Das Wetter entsprach jedoch noch ganz dem Premeteo-Index von +24. Der Luftdruck fiel zum 19. weiter ab und an beiden Tagen stieg am Nachmittag die Temperatur auf über 30° C an. <b>Auf 500 hpa antizyklonal.</b>
19.	+5 2 hr	Tief Zlatan II über Südwestengland. <b>Flacher Index, korrigierter Index ist negativ.</b>
21.	+21 3hr	Schmaler Hochruckkeil um 0 UTC, um 12 UTC hat sich Tief Zlatan wieder durchgesetzt. <b>Korrigierter Index ist negativ.</b>
24.	+14 5 f	Tief Alfred über Frankreich und Tief Zlatan über Nordsee. <b>Korrigierter Index ist negativ.</b>
25.	+20 5 f	Tief Alfred über Polen. <b>Korrigierter Index ist negativ.</b>
27.	-9 5 hr	Flacher Hochdruckkeil mit Kern über Südwestfrankreich. Auf 500 hpa verlagerte sich am 27. ein Höhenkeil nach Deutschland. Der korrigierte Premeteo-Index verlief im negativen Bereich und das Wetter hatte mit seiner starken Bewölkung und den vereinzelt Schauern weiterhin den zyklonalen Charakter der letzten Tage.

## Juli 2017: Fehlprognosen (Prognose korrigiert im Index 3)

Datum	Vorzeichen Symbol	Analyse
1.	+8 5hr	Tiefdrucksystem Rasmund mit drei Kernen über Nordfrankreich, dem Baltikum und Westrussland. Der einzige T-Aspekt des Tages war Merkur 144° Apogäum T. Am Abend des 30. Juni hatte Merkur die beiden, im Impuls sich widersprechenden Aspekte Merkur 72° Makemake T und Merkur 72° GSZ Hf. Die Positionen von Makemake und GSZ lagen damit genau auf der Hälfte zwischen Merkur 144° Apogäum T. Der T-Impuls erschien verstärkt. <b>Flacher Index.</b>
4.	-9 2 hr	Hoch Francoise über Frankreich. <b>Flacher Index, einzelner, negativer Tag. Korrigierte Trendlinie bleibt knapp über der Nulllinie</b> und entspricht der schwül-warmen Witterung.
6.	-3 2 hr	Hoch Francoise über Balkan. <b>Flacher Index, einzelner, negativer Tag. Korrigierte Trendlinie bleibt knapp über der Nulllinie</b> und entspricht der schwül-warmen Witterung.
9.	+14 5 hr	Flache Tiefdruckzelle über Westdeutschland. Es wurden im Index1 die beiden Asteroiden-Aspekte Ceres 180° Quaoar H* und Vesta 0° aufsteigender Mondknoten H* exakt, die wegen der Verdoppelungsregel bei 0° und 180° mit jeweils +10 Punkten angerechnet worden waren und dadurch den korrigierten Premeteo-Index zu hoch im positiven Bereich ansteigen ließen. Die Atmosphäre war durch die große Wärme im mittleren Luftdruckbereich stark labilisiert und die H*-Aspekte fanden keinerlei Abdruck in ihrem Strömungsverhalten. Im negativen Bereich lag jedoch der Index 2 mit der Symmetrie Orcus 45° Mars Haumea A T* A -7.
16.	-1 3-5 r	Hoch Hanna über Süddeutschland. <b>Flacher Index.</b> Unkorrigierter Premeteo-Index ist positiv. Der Hochdruckkern vollzog eine <b>retrograde Bewegung</b> von Westpolen nach Südwest in das Voralpengebiet.
17.	-17	Hoch Hanna über den mittleren Alpen. Der negative Premeteo-Index stammte aus Index 1. Es traten drei Venus-Aspekte Venus 45° Uranus H, Venus 72° KN1 T und Venus 90° Neptun T auf, sowie Orc 45° Haumea T*. Einerseits stabilisierte die Abkühlung die Atmosphäre, andererseits deuten die retrograde Bewegung des Hochdruckkerns und die Häufung der Venus-Aspekte auf eine <b>mögliche Impulsumkehrung</b> hin.
18.	+11 2 r	Flache Tiefdruckzone über Biskaya. Der tiefe Premeteo-Index von -17 am Vortag machte am 18. dann doch mit einer flachen zyklonalen Strömung über der Biskaya bemerkbar, die die Isobare von Hoch Irmingard über der Nordsee schon deutlich zum Tiefdruckbereich nahe unserer Region krümmte. Das Wetter entsprach jedoch noch ganz dem Premeteo-Index von +11. Der Luftdruck fiel zum 19. weiter ab und an beiden Tagen stieg am Nachmittag die Temperatur auf über 30° C an. <b>Einzelner, positiver Tag.</b>
26.	-6 5 hr	Tief Alfred über Nordostdeutschland. <b>Flacher Index.</b> Es bildete sich bis Mittag eine flache, antizyklonale Strömung aus.
27.	-14 5 r	Flacher Hochdruckkeil mit Kern über Südwestfrankreich. Auf 500 hpa verlagerte sich am 27. ein Höhenkeil nach Deutschland. Der korrigierte Premeteo-Index verlief im negativen Bereich und das Wetter hatte mit seiner starken Bewölkung und den vereinzelt Schauern weiterhin den zyklonalen Charakter der letzten Tage. <b>Symbolprognose richtig.</b>
29.	-2 hr	Azorenhoch bis Mittag, dann Umstellung auf zyklonale Strömung. <b>Flacher Index.</b>

Die Statistik des monatlich gemittelten Premeteo-Index in den real abgelaufenen Hoch- und Tiefdruckwetterlagen zeigt seit Januar 2017 bei den korrigierten Prognosen ein deutlich harmonischeres Bild als bei den unkorrigierten Prognosen. Sie ist für die Hypothese eines Zusammenhangs der Atmosphärenströmungen über Südwestdeutschland mit bestimmten Konstellationen des Sonnensystems entscheidend, weil sie zeigt, dass die realen Tiefdruckwetterlagen mit einer größeren Häufung von Tiefdruck-Aspekten als von Hochdruckaspekten einhergehen, und dass dies sichtbar wird, wenn der monatlich gemittelte Premeteo-Index einen negativen Wert annimmt oder deutlich kleiner ist als der gemittelte Premeteo-Index der Hochdruckwetterphasen des bestimmten Monats. Umgekehrt gilt, dass der monatlich gemittelte Premeteo-Index einen positiven Wert in Hochwetterlagen annehmen und deutlich größer sein sollte als der monatlich gemittelte Premeteo-Index der Tiefdruckwetterlagen.

